

# تحلیل اجزای مرزی هدایت گرمای غیر خطی شامل منابع تولید گرمای نقطه‌ای، خطی و گستردۀ با انتگرالگیری تحلیلی

قدرت ا... کرمی\* و محمد رحیم همتیان\*\*

بخش مهندس مکانیک، دانشکده مهندسی دانشگاه شیراز

(دریافت مقاله: ۱۳۷۷/۸/۶ - دریافت نسخه‌نهایی: ۱۳۷۸/۷/۲۲)

چکیده - این مقاله به تحلیل اجزای مرزی مسائل دو بعدی و سه بعدی هدایت گرمای دائمی و غیر خطی می‌پردازد. اعمال اثر منابع تولید گرمای نقطه‌ای، خطی و گستردۀ یکنواخت به طور دقیق و بدون احتیاج به انتگرالگیری در دامنه انجام می‌گیرد. کلیه انتگرالهای مرزی در مسئله دو بعدی با درنظر گرفتن المان خطی به صورت کاملاً تحلیلی ارزیابی می‌شود و احتیاجی به استفاده از روش‌های انتگرالگیری عددی نخواهد بود. این عمل باعث افزایش قابل ملاحظه دقت نتایج می‌شود. این بهبودی در نتایج وقتی چشمگیر است که شکل دامنه پیچیده بوده و دارای نواحی نازک باشد و یا اینکه جواب در دامنه و در نزدیکی مرز خواسته شده باشد. هنگامی که ضریب هدایت گرما وابسته به دما باشد رفتار غیر خطی در مسئله ظاهر می‌شود. در اینجا با استفاده از تبدیل کیرشوف<sup>۱</sup> مسئله به شکل خطی درآمده است تا احتیاجی به تقسیم‌بندی دامنه نباشد. نهایتاً با ارائه چند مثال کارایی و دقت روش‌های ارائه شده نشان داده شده است.

## Boundary Element Analysis of Nonlinear Heat Conduction Problem with Point, Line and Distributed Heat Sources Employing Analytical Integrations

G. Karami and M. R. Hematiyan

Department of Mechanical Engineering, Shiraz University

**ABSTRACT-** This paper is concerned with the implementation of boundary element analysis of two and three dimensional problems of nonlinear heat conduction. Point, line and uniform distributed heat sources within the domain are exactly implemented with no need of domain discretization. The boundary integrals developed are evaluated analytically, thus no numerical integration would be required. This will enhance the accuracy of the solutions especially when the geometric boundary of the domain is complex or the body is thin

\*- استاد -\*\*- دانشجوی دکترا

or in cases where solution in the vicinity of the boundary is required. For the problems with thermal conductivity temperature dependent a nonlinear behavior is expected which would be dealt with kirchhoff transformation. The efficiency and accuracy of the methods are explored through several examples.

رفتار غیر خطی را از معادله حاکم به شرایط مرزی منتقل کرد. هنگامی که در شرایط مرزی رفتار غیر خطی وجود دارد با استفاده از روش‌های تکرار ساده<sup>۲</sup> یا نیوتن<sup>۳</sup> می‌توان دستگاه معادله‌های حاصل را حل کرد [۸]. بنابراین حتی در حالتی که مسئله هدایت گرمای غیر خطی است احتیاجی به تقسیم‌بندی دامنه نیست. تقسیم‌بندی دامنه خصوصاً در مسائل سه بعدی زحماتی را برای کاربر به همراه دارد.

## ۲- فرمولبندی اجزای مرزی

معادله دیفرانسیل حاکم بر مسئله هدایت گرمای دائمی به صورت زیر بیان می‌شود:

$$\nabla \cdot (k(T) \nabla T) + g = 0 \quad (1)$$

در این معادله  $T$  معروف دماست و  $g$  شدت منبع تولید گرمای را در نقاط مختلف دامنه بیان می‌کند.  $k(T)$  ضریب هدایت گرمای است که با در نظر گرفتن وابستگی آن به دما مسئله به صورت غیر خطی در می‌آید. این مسئله ممکن است تحت شرایط مرزی دیریشله<sup>۴</sup> نیومن<sup>۵</sup> یا جابه‌جایی قرار گیرد. همچنین شرط‌مرزی غیرخطی تشعشع (نیروای این مسئله با عبارت  $h(T - T_{cv})$  در مسئله معرف شده) هدایت گرمای را با تبدیل کیرشف می‌توان به صورت خطی در آورد [۹]. برای این منظور ابتدا یک متغیر جدید  $U$  به صورت زیر تعریف می‌شود.

$$U(T) = \int_0^T \frac{k(T')}{k} dT' \quad (2)$$

که در آن  $k$  مقدار ضریب هدایت گرمای در دمای صفر است. با استفاده از این تبدیل، معادله (۱) به شکل زیر در می‌آید

$$k \cdot \nabla^2 U + g = 0 \quad (3)$$

معادله (۳) با توجه به ثابت بودن  $\nabla^2$  خطی است. البته باید توجه

## ۱- مقدمه

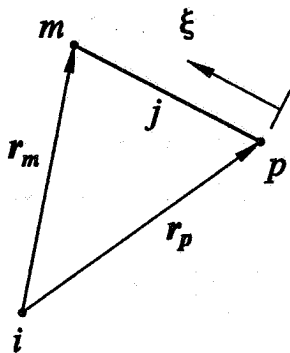
روش اجزای مرزی (BEM) به عنوان یک الگوریتم محاسباتی نسبتاً دقیق کاربردهای فراوانی در حل مسائل مختلف پیدا کرده است. مسئله هدایت گرمای و مسائل شبیه آن با استفاده از روش اجزای مرزی توسط محققانی در این زمینه [۶-۱] مدلسازی شده است.

در تحقیقات قبلی برای محاسبه انتگرال‌های مرزی از روش‌های عددی استفاده شده است. در این مقاله انتگرال‌های مرزی برای دامنه دو بعدی و المان مرزی خطی به صورت تحلیلی محاسبه می‌شوند تا دقت تحلیل دو چندان شود. البته برای حل مسائل الاستیستیه دو بعدی خطی روشنی با عنوان کانتور مرزی ارائه شده است که در آن انتگرال‌ها به صورت تحلیلی محاسبه می‌شوند [۷]. اثر منبع تولید گرمای گسترده در فرمولبندی اجزای مرزی به صورت یک انتگرال روی دامنه ظاهر می‌شود [۱]. در این مقاله در حالتی که منبع تولید گرمای گسترده، دارای شدت یکنواخت است، راهی برای تبدیل آن انتگرال از دامنه به مرز بیان شده است برای این منظور در مسئله دو بعدی از فرمول گرین<sup>۲</sup> و در مسئله سه بعدی از قضیه گرین - گوس<sup>۳</sup> استفاده شده است. انتگرال مرزی مذبور در مسئله دو بعدی به صورت تحلیلی و در مسئله سه بعدی به صورت عددی ارزیابی می‌شود. در هر حال برای اعمال کردن اثر منبع تولید گرمای گسترده یکنواخت احتیاج به تقسیم‌بندی دامنه نیست. انواع دیگر منابع تولید گرمای، منابع نقطه‌ای و خطی اند که در آنها تولید گرمای یک نقطه و یا در یک پاره خط متتمرکز است. بررسی این منابع تولید گرمای دارای کاربردهای عملی است که برای نمونه می‌توان به طراحی گرمایی قطعات الکترونیکی اشاره کرد.

در این مقاله نحوه اعمال کردن دقیق اثر منابع تولید گرمای نقطه‌ای و خطی در هر دو حالت دو بعدی و سه بعدی ارائه می‌شود. منبع تولید گرمای خطی به صورتی در نظر گرفته می‌شود که دارای شدت یکنواخت یا متغیر در طول منبع باشد.

هنگامی که ضریب گرمای به دما وابستگی دارد مسئله هدایت گرمای به صورت غیر خطی در می‌آید. با استفاده از تبدیل کیرشف می‌توان

داشت که در مورد شرایط مرزی نیز باید تبدیل (۲) انجام شود. برای ارضای شرط مرزی نیومن معادله زیر استفاده می‌شود.



شکل ۱ - یک المان مرزی

مقدار آن با  $r_i$  مشخص شده است و  $n$  معرف بردار واحد عمود بر مرز است.

اکنون طریقه محاسبه تحلیلی انتگرالهای معادله (۶) در حالت دو بعدی و همچنین تبدیل انتگرال مربوط به منبع گرمای از دامنه به مرز را در هر یک از حالات دو بعدی و سه بعدی بررسی می‌کنیم.

### ۳- مسئله دو بعدی

در نظر بگیریم که مرز مسئله به تعدادی المان مرزی خطی تبدیل شده باشد. در این صورت برای محاسبه انتگرالها باید حاصل آنها را روی هر یک از المانها به دست آورده و با یکدیگر جمع کنیم. شکل (۱) یک المان مرزی به شماره  $j$  و گرهای انتهایی  $p$  و  $m$  را نشان می‌دهد. طول این المان نمونه را ۱ فرض می‌کنیم و  $\hat{x}$  را به عنوان مختصه محلی در نظر می‌گیریم که در  $r_p$  (شروع المان) مقدار آن صفر و در  $r_m$  (انتهای المان) مقدار آن یک است.  $r_p$  و  $r_m$  بردارهای مکان نسبت به نقطه دید  $i$  هستند.

اکنون چگونگی ارزیابی تحلیلی انتگرالهای موجود در معادله (۶) را بیان می‌کنیم.

### ۳-۱- محاسبه $\int_T \frac{\partial T_i^*}{\partial n} d\Gamma$ در مسئله دو بعدی

اگر مقدار انتگرال مذبور را روی یک المان مرزی  $j$  بنامیم داریم

$$v = \int_{T_j} T \frac{\partial T_i^*}{\partial n} d\Gamma \quad (9)$$

و یا اینکه

$$\frac{\partial U}{\partial n} = \frac{k(T)}{k_0} \frac{\partial T}{\partial n} \quad (4)$$

نظر به اینکه معادله غیر خطی هدایت گرمای دائمی را با تبدیل کیرشف می‌توان به صورت خطی در آورد لذا بدون از دست دادن عمومیت، فرمولبندی مسئله را فقط برای حالتی که ضریب هدایت گرمای ثابت است بررسی می‌کنیم یعنی معادله دیفرانسیل حاکم بر مسئله را به صورت زیر می‌نویسیم

$$\nabla^2 T + \frac{g}{k} = 0 \quad (5)$$

با به کارگیری روش مستقیم اجزایی مرزی، معادله انتگرالی نظری معادله (۵) به صورت زیر به دست می‌آید [۱]

$$C_i T_i + \int_{\Gamma} T \frac{\partial T_i^*}{\partial n} d\Gamma = \int_{\Gamma} T_i^* \frac{\partial T}{\partial n} d\Gamma + \frac{1}{k} \int_{\Omega} g T_i^* d\Omega \quad (6)$$

در معادله (۶)  $\Gamma$  و  $\Omega$  به ترتیب مرز و دامنه مسئله را بیان می‌کنند.  $C_i$  جهت عمود بر مرز و  $i$  معرف نقطه‌ای از مرز یا دامنه است.  $T_i^*$  ضریب هندسی نقطه  $i$  است که برای نقاط داخل دامنه ۱ و برای نقاط مرزی با توجه به شکل هندسی محاسبه می‌شود  $T_i^*$  جواب اساسی و  $\partial T_i^*/\partial n$  مشتق نرمال آن است که به صورت زیر بیان می‌شود.

$$T_i^* = \frac{1}{2\pi} \ln \left( \frac{1}{r_i} \right) \quad (\text{الف})$$

$$\frac{\partial T_i^*}{\partial n} = \frac{-1}{4\pi r_i^3} r_i \cdot n \quad (\text{ب}) \quad (7)$$

$$T_i^* = \frac{1}{4\pi r_i} \quad (\text{الف})$$

$$\frac{\partial T_i^*}{\partial n} = \frac{-1}{4\pi r_i^3} r_i \cdot n \quad (\text{ب}) \quad (8)$$

در معادله‌های (۷) و (۸) بردار فاصله هر نقطه تا نقطه دید  $i$  با  $r_i$  و

و اگر  $e^2 - 4df = 0$  داریم

$$I_1(a, b, c, d, e, f, g, h) = \left\{ \frac{a}{d} \xi + \left( \frac{b}{d} - \frac{ae}{d} \right) \left[ \ln \left( \xi + \frac{e}{2d} \right) - \left( \frac{cd - af}{bd - ae} - \frac{e}{2d} \right) \frac{1}{\xi + \frac{e}{2d}} \right] \right\}_{\xi=g}^{\xi=h} \quad (19)$$

در حالتی که نقطه  $r_i$  یکی از دو گره المان قرار داشته باشد  $h_{ip}$  و  $h_{im}$  هر دو صفر می‌شوند.

۲-۳- محاسبه در مسئله دو بعدی

اگر مقدار انتگرال بالا را برابری یک المان مرزی مطابق

شکل (۱) برابر با  $\int_T T_i^* \frac{\partial T}{\partial n} d\Gamma$  در نظر بگیریم، داریم

$$v = 1 \left\{ \int_0^1 [N_p \ N_m] T_i^* d\xi \right\} \begin{Bmatrix} q_p \\ q_m \end{Bmatrix} \quad (20)$$

در معادله (۲۰)  $q_m = (\frac{\partial T}{\partial n})_m$  و  $q_p = (\frac{\partial T}{\partial n})_p$  مشتقات نرمال دما در گره‌های مرزی  $p$  و  $m$  هستند. با قرار دادن معادله ۷-الف در تساوی (۲۰) داریم

$$v' = [g_{ip} \ g_{im}] \begin{Bmatrix} q_p \\ q_m \end{Bmatrix} \quad (21)$$

$$g_{ip} = \frac{-1}{\sqrt{\pi}} \int_0^1 N_p \ln r_i d\xi \quad (22)$$

$$g_{im} = \frac{-1}{\sqrt{\pi}} \int_0^1 N_m \ln r_i d\xi \quad (23)$$

حاصل انتگرالهای (۲۲) و (۲۳) از معادله‌های زیر به دست می‌آیند

$$g_{ip} = \frac{-1}{\sqrt{\pi}} I_2(1/0, -1/0, c, d, e, 0/0, 1/0) \quad (24)$$

$$g_{im} = \frac{-1}{\sqrt{\pi}} I_2(0/0, 1/0, c, d, e, 0/0, 1/0) \quad (25)$$

$$c = 1^\circ, d = r_m^\circ - r_p^\circ - 1^\circ, e = r_n^\circ \quad (26)$$

$$v = 1 \left\{ \int_0^1 [N_p \ N_m] \frac{\partial T_i^*}{\partial n} d\xi \right\} \begin{Bmatrix} T_p \\ T_m \end{Bmatrix} \quad (10)$$

در معادله (۱۰)،  $\xi = 1 - N_p = 1 - N_m$  و  $\xi = 0$  توابع شکل برای المان ایزوپارامتریک  $\zeta$  هستند. با قرار دادن معادله ۷-ب) در معادله

$$v = [h_{ip} \ h_{im}] \begin{Bmatrix} T_p \\ T_m \end{Bmatrix} \quad (11)$$

که در آن

$$h_{ip} = \frac{-1}{\sqrt{\pi}} \int_0^1 \frac{n \cdot r}{r^\circ} N_p d\xi \quad (12)$$

$$h_{im} = \frac{-1}{\sqrt{\pi}} \int_0^1 \frac{n \cdot r}{r^\circ} N_m d\xi \quad (13)$$

حاصل انتگرالهای (۱۲) و (۱۳) از معادله‌های تحلیلی زیر به دست می‌آیند

$$h_{ip} = \frac{-1}{\sqrt{\pi}} I_1(a, b, c, d, e, f, 0/0, 1/0) \quad (14)$$

$$h_{im} = \frac{-1}{\sqrt{\pi}} I_1(a', b', c', d, e, f, 0/0, 1/0) \quad (15)$$

$$\begin{aligned} a &= n \cdot (r_p - r_m) & b &= n \cdot r_m - n \cdot r_p & c &= n \cdot r_p \\ a' &= -n \cdot (r_p - r_m) & b' &= n \cdot r_p & c' &= 0 \\ d &= 1^\circ & e &= r_m^\circ - r_p^\circ - 1^\circ & f &= r_p^\circ \end{aligned} \quad (16)$$

$$I_1(a, b, c, d, e, f, g, h) = \int_g^h \frac{a\xi^\circ + b\xi + c}{d\xi^\circ + e\xi + f} d\xi \quad (17)$$

$$\begin{aligned} I_1(a, b, c, d, e, f, g, h) &= \left\{ \frac{a}{d} \xi + \frac{(b - ae)}{2d} \ln \left( \xi^\circ + \frac{e}{2d} \xi + \frac{f}{d} \right) \right. \\ &\quad \left. + \frac{1}{d^\circ} \left( cd - af - \frac{eb}{2} + \frac{ae^\circ}{2d} \right) \frac{1}{\sqrt{\frac{f}{d} - \frac{e^\circ}{2d}}} \tan^{-1} \frac{\xi + \frac{e}{2d}}{\sqrt{\frac{f}{d} - \frac{e^\circ}{2d}}} \right\}_{\xi=g}^{\xi=h} \end{aligned} \quad (18)$$

$$D = \frac{G}{k} \int_{\Omega} T_i^* d\Omega = \frac{G}{k} \int_{\Omega} \frac{1}{\pi} \ln(\frac{1}{r_i}) d\Omega \quad (30)$$

می‌آید

$$\begin{aligned} D &= \frac{-G}{\pi k \pi} \int_{\Gamma} [(x - x_i) \ln r_i + (y - y_i) \tan^{-1}(\frac{x - x_i}{y - y_i}) \\ &\quad - (x - x_i)] dy \end{aligned} \quad (31)$$

با به کار گیری فرمول گرین داریم

$$I_1(a, b, c, d, e, g, h) = \int_g^h (a + b\xi) \ln \sqrt{c\xi^2 + d\xi + e} d\xi$$

$$= \left\{ a[\xi \ln \sqrt{c\xi^2 + d\xi + e} - \frac{1}{2} I_1(2c, d, 0/0, c, d, e, 0/0, \xi)] \right. \\ \left. + \frac{b}{4} [\frac{d}{c}\xi - \xi^2 + 2\xi^2 \ln \sqrt{c\xi^2 + d\xi + e}] \right. \\ \left. - I_1(0/0, \frac{d}{c} - 2e, \frac{de}{c}, c, d, e, 0, \xi) \right\}_{\xi=g}^{\xi=h} \quad (27)$$

وقتی که  $r_p = 0$  است داریم

$$\begin{cases} g_{ip} = \frac{21}{\pi} - \frac{1}{4\pi} \ln 1 \\ g_{im} = \frac{1}{\pi} - \frac{1}{4\pi} \ln 1 \end{cases} \quad (28)$$

و در حالتی که  $r_m = 0$  است داریم

$$\begin{cases} g_{ip} = \frac{1}{\pi} - \frac{1}{4\pi} \ln 1 \\ g_{im} = \frac{21}{\pi} - \frac{1}{4\pi} \ln 1 \end{cases} \quad (29)$$

### ۳-۳-۱- محاسبه $\frac{1}{k} \int_{\Omega} g T_i^* d\Omega$ در مسئله دو بعدی

این انتگرال را که به منابع تولید گرما مربوط می‌شود در سه حالت مختلف مورد بررسی قرار می‌دهیم در وهله اول حالتی را در نظر می‌گیریم که منبع تولید گرما به صورت گستردگی یکنواخت باشد و در حالتی‌ها بعدی، منابع تولید گرمای نقطه‌ای و خطی را مورد بحث قرار می‌دهیم.

$$d = \frac{-G}{\pi k \pi} \int_{\Gamma} [(x - x_i) \ln r_i + (y - y_i) \tan^{-1}(\frac{x - x_i}{y - y_i}) \\ - (x - x_i)] dy \quad (32)$$

$$d = \frac{-G(y_m - y_p)}{\pi k \pi} \left\{ I_1(x_p - x_i, x_m - x_p, c_1, d_1, e_1, 0/0, 1/0) \right. \\ \left. + x_i - \frac{1}{2}(x_m + x_p) - (cf - ed) I_1(\frac{a}{2}, b, 0/0, e^2 + c^2, 2ef \\ + 2cd, f^2 + d^2, 0/0, 1/0) + (\frac{a}{2} + b) \tan^{-1}(\frac{c + d}{e + f}) + h \right\} \quad (33)$$

$$h = \begin{cases} -(\frac{a\xi^2}{2} + b\xi) \tan^{-1}(\frac{c\xi + d}{e\xi + f}) & \xi = -\frac{f}{e} \\ 0 & \text{وقتی } 0 < -\frac{f}{e} < 1 \end{cases} \quad (34)$$

بقیه موارد

ثابت‌های موجود در معادله (33) به صورت زیر به دست می‌آیند

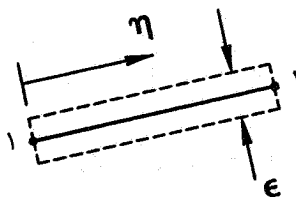
$$\begin{aligned} c_1 &= 1, & d_1 &= r_m - 1^2 - r_p^2, & e_1 &= r_p^2 \\ a &= y_m - y_p, & b &= y_p - y_i, & c &= x_m - x_p \\ d &= x_p - x_i, & e &= y_m - y_p, & f &= y_p - y_i \end{aligned} \quad (35)$$

همچنین در حالتی که  $r_p$  منطبق باشد داریم

$$d = \frac{G(y_p - y_m)}{\pi k \pi} \left\{ \frac{(x_m - x_p)}{\lambda} \left( \ln 1 - \frac{1}{2} \right) \right. \\ \left. + \frac{1}{2} (y_m - y_p) \tan^{-1} \left( \frac{x_m - x_p}{y_m - y_p} \right) - \frac{1}{2} (x_m - x_p) \right\} \quad (36)$$

### ۳-۳-۲- اثر منبع تولید گرمای گستردگی یکنواخت در مسئله دو بعدی

در این قسمت چگونگی تبدیل انتگرال مربوطه از دامنه به مرز بیان می‌شود. لازم به ذکر است که قبل از محققانی راه حل‌هایی را برای تبدیل انتگرهای برروی دامنه به مرز ارائه کرده اند [۱۴-۱۰] ولی در تمام آنها لازم است که ابتدا محاسبات مقدماتی انجام شود. راهی که در اینجا ارائه می‌شود اگرچه فقط به منبع تولید گرمای گستردگی یکنواخت منحصر می‌شود ولی این امتیاز را دارد که انتگرال روی دامنه با یک تبدیل ساده به مرز منتقل می‌شود و انتگرال مرزی حاصل شده به صورت تحلیلی ارزیابی می‌شود. با در نظر گرفتن مقدار ثابت  $G$  برای تابع  $g$ ، انتگرال مورد نظر به صورت زیر در



شکل ۳- مختصه محلی برای منبع خطی در مسئله دو بعدی

گرمای خطی به طول  $l_g$  قرار داده شده است. شدت منبع در نقاط ۱ و ۲ به ترتیب  $g_1$  و  $g_2$  است و در حد فاصل دو نقطه ۱ و ۲ تغییرات خطی برای شدت منبع در نظر گرفته می‌شود. بدینهی است که مقادیر  $g_1$  و  $g_2$  در واحد طول در نظر گرفتن می‌شوند. لازم به ذکر است که در مسائل دو بعدی، با در نظر گرفتن بعد سوم برای منبع خطی می‌توان آن را به صورت یک منبع سطح دار در نظر گرفت.

شکل (۳) مختصه جدید ۶ را روی منبع خطی نشان می‌دهد. همچنین در این شکل سطحی با پهنای بینهایت کوچک ۴ در اطراف منبع در نظر گرفته شده است که آن را  $\Omega$  می‌نامیم. برای محاسبه انتگرال مربوط به این منبع داریم

$$D = \frac{1}{k} \int_{\Omega} g T_i^* d\Omega \quad (41)$$

$$D = \frac{1}{k} \int_{\Omega} g T_i^* d\Omega \quad (42)$$

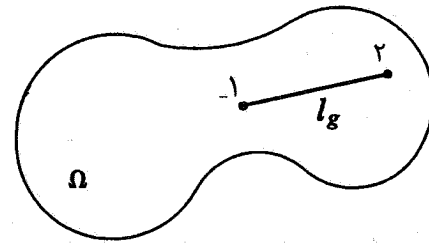
$$D = \frac{1}{k} \int_{\Omega} \frac{(1-\eta)g_1 + \eta g_2}{\epsilon} T_i^* \delta l_g d\eta \quad (43)$$

حاصل نهایی این انتگرال به صورت زیر به دست می‌آید

$$D = \frac{-l_g}{\pi k} I_1(a, b, c, d, e, 0/0, 1/0) \quad (44)$$

$$a = g_1, \quad b = g_2 - g_1 \quad (45)$$

$$c = l_g, \quad d = r_{i2} - l_g - r_{i1}, \quad e = r_{i1} \quad (46)$$



شکل ۲- منبع تولید گرمای خطی

و در حالتی که  $i$  بر  $m$  منطبق باشد داریم

$$d = \frac{-G(y_p - y_m)}{\pi k \pi} \left\{ \frac{(x_m - x_p)}{\lambda} (Lnl - \frac{1}{2}) + \frac{1}{\lambda} (y_m - y_p) \tan^{-1} \left( \frac{x_m - x_p}{y_m - y_p} \right) - \frac{1}{\lambda} (x_m - x_p) \right\} \quad (37)$$

-۲-۳-۲- اثر منبع تولید گرمای نقطه‌ای در مسئله دو بعدی منظور از منبع تولید گرمای نقطه‌ای منبعی است که سطح آن به صفر می‌کند و دارای شدت  $G_M$  است یعنی

$$g = G_M \delta(\mathbf{r} - \mathbf{r}_M) \quad (38)$$

لازم به ذکر است که در مسائل دو بعدی، با در نظر گرفتن بعد سوم برای منبع نقطه‌ای می‌توان آن را به صورت یک منبع خطی در نظر گرفت. در معادله (۳۸) موقعیت منبع که در نقطه  $M$  قرار دارد با  $\mathbf{r}_M$  نشان داده شده است و  $\delta$  بیان کنندهتابع دلتای دیراک است. انتگرال مربوط به منبع تولید گرمای نقطه‌ای به صورت زیرنوشته می‌شود

$$D = \frac{-1}{\pi k \pi} \int_{\Omega} G_M \delta(\mathbf{r} - \mathbf{r}_M) \ln r_i d\Omega \quad (39)$$

حاصل این انتگرال به طور دقیق برابر است با

$$D = \frac{-G_M}{\pi k \pi} \ln(r_i) \Big|_{\text{point } M} \quad (40)$$

-۲-۳-۳-۲- اثر منبع تولید گرمای خطی در مسئله دو بعدی شکل (۲) دامنه  $\Omega$  را نشان می‌دهد که در آن یک منبع تولید

با استفاده از معادله های (۵۰) و (۵۱) به سادگی می توان به معادله های زیر رسید

$$\vec{\nabla}\alpha = \frac{\mathbf{r}_i}{r_i} \quad (52)$$

$$\vec{\nabla} \cdot \mathbf{P} = \frac{1}{r_i} \quad (53)$$

با قرار دادن تساوی های (۵۲) و (۵۳) در (۴۹) داریم

$$\int_{\Omega} \frac{1}{r_i} d\Omega + \int_{\Omega} \frac{1}{r_i} d\Omega = \int_{\Gamma} r_i \frac{\mathbf{r}_i}{r_i} \cdot \mathbf{n} d\Gamma \quad (54)$$

و یا اینکه

$$\int_{\Gamma} \frac{1}{r_i} d\Omega = \frac{1}{2} \int_{\Gamma} \frac{1}{r_i} (\mathbf{r}_i \cdot \mathbf{n}) d\Gamma \quad (55)$$

بنابراین با استفاده از معادله (۵۵) انتگرال (۴۸) به یک انتگرال مرزی به صورت زیر در می آید.

$$D = \frac{G}{4\pi k} \int_{\Gamma} \frac{1}{r_i} (\mathbf{r}_i \cdot \mathbf{n}) d\Gamma \quad (56)$$

۲-۴- اثر منبع تولید گرمای نقطه ای در مسئله سه بعدی مشابه با آنچه که در قسمت دو بعدی تشریح شد، با در نظر گرفتن یک منبع نقطه ای با شدت  $G_M$  در نقطه  $M$  داریم

$$g = G_M \delta(\mathbf{r} - \mathbf{r}_M) \quad (57)$$

و بنابراین انتگرال مربوط به منبع تولید گرمای به صورت زیر نوشته می شود

$$D = \frac{1}{4\pi k} \int_{\Gamma} G_M \delta(\mathbf{r} - \mathbf{r}_M) \frac{1}{r_i} d\Gamma \quad (58)$$

حاصل این انتگرال با توجه به خواص تابع دلتای دیراک به طور

دقیق برابر است با

$$D = \frac{G_M}{4\pi k} \frac{1}{r_i} \Big|_{\text{point } M} \quad (59)$$

در معادله های اخیر  $\mathbf{r}_{i1}$  و  $\mathbf{r}_{i2}$  بیان کننده فاصله نقطه دید  $\alpha$  تا دو انتهای منبع خطی اند. ملاحظه می شود که اثر منبع تولید گرمای خطی را می توان به صورت دقیق اعمال کرد. همچنین با تقسیم بندی یک مسیر به تعدادی پاره خط می توان اثر منبع تولید گرمای بروی یک مسیر را نیز به راحتی اعمال کرد.

#### ۴- مسئله سه بعدی

برای مدل کردن یک مسئله سه بعدی ابتدا مرز آن توسط المانهای دو بعدی تقسیم بندی می شود سپس انتگرالهای مرزی محاسبه می شود. در اینجا طریقه تبدیل دقیق انتگرال مربوط به منبع تولید گرمای گسترش دیگرها یکنواخت از دامنه به مرز و همچنین نحوه اعمال کردن اثر منابع نقطه ای و خطی به طور دقیق بیان می شود.

۱-۴- اثر منبع تولید گرمای گسترش دیگرها یکنواخت در مسئله سه بعدی با در نظر گرفتن مقدار ثابت  $G$  برای شدت منبع تولید گرمای انتگرال مربوط به تولید گرمای به صورت زیر در خواهد آمد

$$D = \frac{G}{k} \int_{\Omega} T_i^* d\Omega \quad (47)$$

که با استفاده از معادله (۸-الف) خواهیم داشت

$$D = \frac{G}{k} \int_{\Omega} \frac{1}{4\pi r_i} d\Omega \quad (48)$$

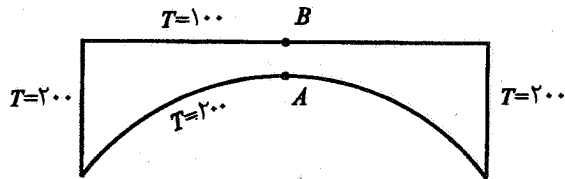
برای تبدیل انتگرال (۴۸) از دامنه به مرز از قضیه گرین گوس استفاده می کنیم. این قضیه که نتیجه قضیه واگرایی<sup>۱</sup> است به صورت زیر بیان می شود.

$$\int_{\Omega} \alpha \vec{\nabla} \cdot \mathbf{P} d\Omega + \int_{\Omega} \vec{\nabla} \alpha \cdot \mathbf{P} d\Omega = \int_{\Gamma} \alpha \mathbf{P} \cdot \mathbf{n} d\Gamma \quad (49)$$

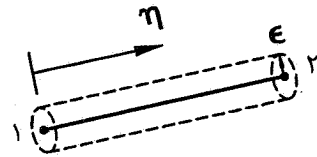
که در آن  $\mathbf{P}$  یک بردار دلخواه و  $\alpha$  یک تابع اسکالار است. اکنون  $\alpha$  و  $\mathbf{P}$  را به صورت زیر در نظر می گیریم.

$$\alpha = r_i \quad (50)$$

$$\mathbf{P} = \frac{\mathbf{r}_i}{r_i} \quad (51)$$



شکل ۵- دامنه مسئله با ناحیه باریک



شکل ۶- مختصه محلی برای منبع خطی در مسئله سه بعدی

### ۵- مثالها

برای بررسی درستی، دقت و کارایی روابط عنوان شده، شش مثال در نظر گرفته شده است. چهار مثال اول به مسئله سه بعدی و دو مثال آخر به مسئله سه بعدی مربوط می‌شود. کلیه مثالها با جواب دقیق و با جواب به دست آمده از روش اجزای محدود (FEM) مقایسه شده است. در تمام موارد نتایج حاصل شده کاملاً رضایت‌بخش است.

**۱-۵- مقایسه دقت انتگرال‌گیری تحلیلی با انتگرال‌گیری عددی**  
هنگامی که نقطه دید<sup>۹</sup> و نقطه میدان<sup>۱۰</sup> به یکدیگر نزدیک باشند، در انتگرال‌ها عبارتها تقریباً متفاوت<sup>۱۱</sup> ظاهر می‌شوند. به وجود آمدن این عبارتها تقریباً متفاوت به شکل جواب اساسی و مشتق نرمال آن مربوط می‌شود، معادله (۷) را ببینید. هنگامی که دامنه مسئله دارای قسمت باریکی است و یا در حالتی که قرار است مجھولات در نقاط داخل دامنه و نزدیک مرز محاسبه شوند وضعیت تقریباً متفاوت به وجود می‌آید زیرا در این موارد نقطه دید و نقطه میدان به یکدیگر نزدیک خواهند شد. همچنین وقتی که اختلاف اندازه دو المان مجاور زیاد است این حالت اتفاق می‌افتد.

شکل (۵) دامنه یک مسئله دو بعدی با شرایط مرزی دیریشله را نشان می‌دهد. این مسئله با در نظر گرفتن ۱۱ المان مرزی و با انتگرال‌گیری تحلیلی و انتگرال‌گیری عددی ۳، ۵، ۸ و ۱۱ نقطه‌ای گوس حل شده است. برای مقایسه نتایج، دما در طول AB در تمام حالت‌های محاسبه شده است و نتیجه آن در شکل (۶) نمایش داده شده است. فاصله AB در مسئله مذبور ۲/۵ ه است و مقدار ضریب هدایت گرما برابر با  $k = \frac{W}{m^{\circ}C}$  در نظر گرفته شده است. همان طور که ملاحظه می‌شود با بالا بردن مرتبه انتگرال‌گیری، نتایج به مقادیر حاصل از انتگرال‌گیری تحلیلی نزدیک شده است ولی حتی با انتگرال‌گیری ۱۱ نقطه‌ای گوس و خصوصاً در نزدیکی نقطه B بازهم خطای انتگرال‌گیری عددی قابل توجه است.

### ۴-۳- اثر منبع تولید گرمای خطی در مسئله سه بعدی

مانند آنچه که در حالت دو بعدی تعریف شد یک منبع تولید گرمای خطی به طول  $l_g$  را در نظر می‌گیریم که شدت منبع در نقاط ۱ و ۲ از آن به ترتیب  $g_1$  و  $g_2$  باشد. در شکل (۶) منبع تولید گرمای خطی و مختصه جدید روی آن مشخص شده است همچنین یک حجم بینهایت کوچک به شکل استوانه به شعاع  $\epsilon$  پر امون منبع در نظر گرفته شده است. این حجم کوچک را  $\Omega_g$  می‌نامیم.

برای محاسبه انتگرال مربوط به این منبع داریم

$$D = \frac{1}{k} \int_{\Omega} g T_i^* d\Omega \quad (60)$$

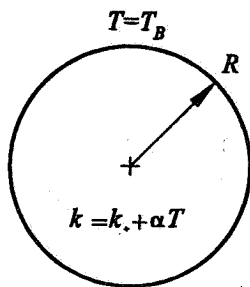
$$D = \frac{1}{k} \int_{\Omega_g} g T_i^* d\Omega \quad (61)$$

$$D = \frac{1}{k} \int_0^1 \frac{(1-\eta)g_1 + \eta g_2}{\pi \epsilon^2} \frac{1}{4\pi r_i} \pi \epsilon^2 l_g d\eta \quad (62)$$

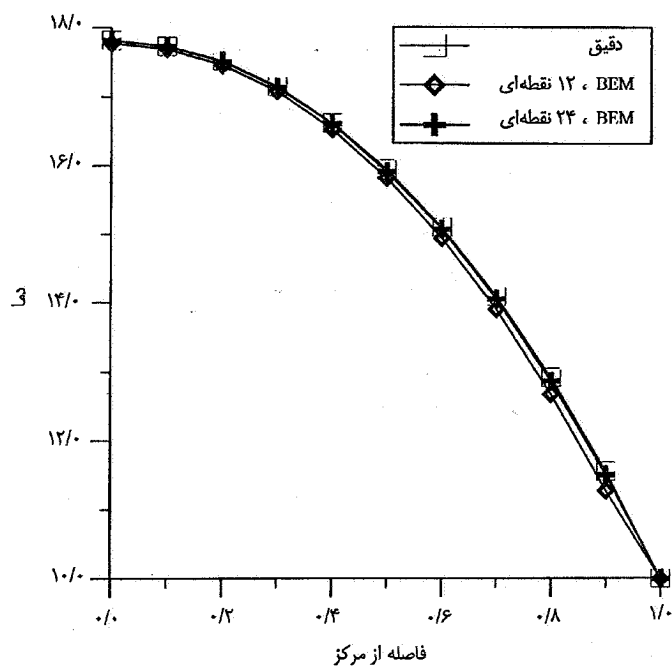
حاصل نهایی این انتگرال به صورت زیر به دست می‌آید

$$D = \frac{g_2 - g_1}{8k\pi} \left\{ \frac{2(r_{i2} - r_{i1})}{l_g} + \left[ \frac{2g_1}{(g_2 - g_1)} - \frac{(r_{i2} - l_g - r_{i1})}{l_g^2} \right] \ln \left[ \frac{(l_g + r_{i2})^2 - r_{i1}^2}{r_{i2}^2 - (l_g - r_{i1})^2} \right] \right\}$$

در معادله (۶۳)،  $r_{i1}$  و  $r_{i2}$  معرف فاصله نقطه دید ۱ تا دو انتهای منبع خطی اند. همان طور که ملاحظه می‌شود در مسئله سه بعدی نیز مانند مسئله دو بعدی می‌توان اثر منبع تولید گرمای خطی را به طور دقیق اعمال کرد.



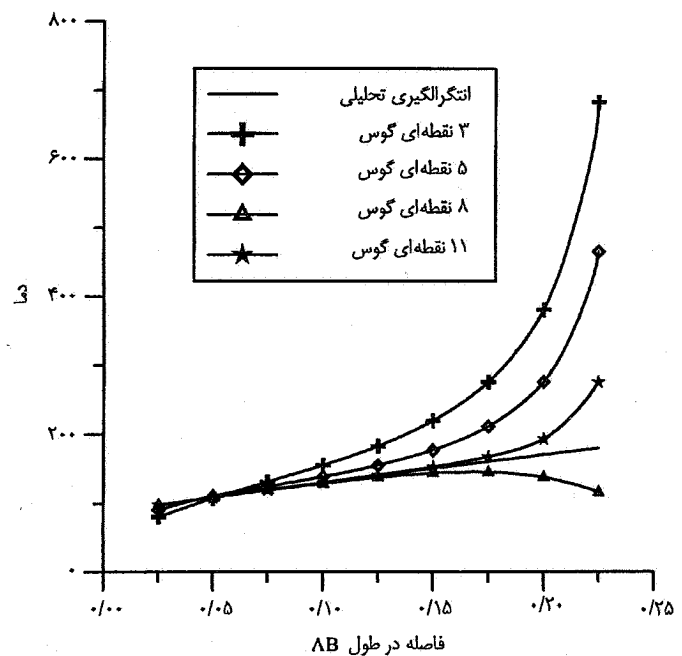
شکل ۷- مسئله غیر خطی با منبع تولید گرمای گستردۀ



شکل ۸- نتایج BEM و روش دقیق در حل مسئله غیر خطی

نظر گرفتن ۲۴ المان مرزی حل شده است. نتایج روش اجزای مرزی با روش دقیق در شکل (۸) مقایسه شده است. با توجه به غیر خطی بودن مسئله و حضور منبع تولید گرمای دیده می شود که دقت نتایج در سطح عالی است.

۵-۳- منبع تولید گرمای نقطه‌ای در مسئله دو بعدی در مثالی که در شکل (۹) نشان داده شده است مرز دایره‌ای به شعاع  $R$  تحت شرط مرزی دیریشله ( $T = T_B$ ) قرار گرفته است. در مرکز دایره یک منبع تولید گرمای نقطه‌ای به شدت  $G$  وجود دارد و ضریب هدايت گرمای به صورت ثابت و برابر با  $k$  در نظر



شکل ۶- مقایسه جوابها با انتگرالگیری تحلیلی و انتگرالگیری عددی ۳، ۵، ۸، ۱۱ نقطه‌ای گوس

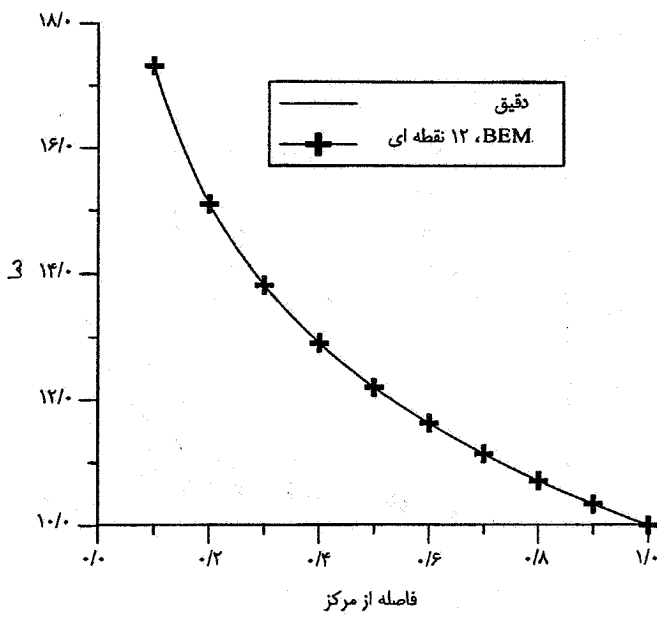
۴-۵- مسئله غیر خطی با منبع تولید گرمای گستردۀ مطابق با شکل (۷) یک دامنه دایره‌ای به شعاع  $R$  و با شرط مرزی دیریشله ( $T = T_B$ ) در کل مرز در نظر می‌گیریم. مقدار ضریب هدايت گرمای را وابسته به دما و به صورت  $k(T) = k_0 + \alpha T$  در نظر می‌گیریم که در آن  $k_0$  و  $\alpha$  مقداری ثابت‌اند. همچنین فرض می‌کنیم که یک منبع تولید گرمای گستردۀ یکنواخت با شدت  $G$  در کل دامنه وجود دارد. معادله حاکم بر این مسئله به صورت زیر است

$$\frac{1}{r} \frac{d}{dr} [k(T) \frac{dT}{dr}] + G = 0 \quad (64)$$

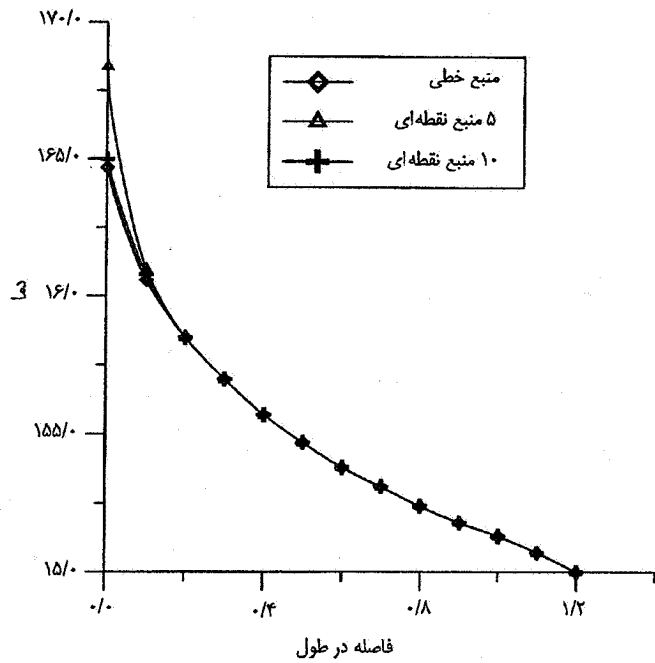
حل دقیق این مسئله به صورت زیر است

$$T = \frac{1}{\alpha} \left[ -k_0 + \sqrt{(k_0 + \alpha T_B)^2 + \frac{\alpha G}{r} (R^2 - r^2)} \right] \quad (65)$$

این مسئله با مقادیر  $C = 1 \frac{W}{m^2 K}$ ,  $k_0 = 1 \frac{W}{m^2 K}$ ,  $T_B = 10^\circ C$ ,  $G = 200 \frac{W}{m^2}$  و  $R = 1m$  با روش دقیق و همچنین با روش اجزای مرزی یکبار با در نظر گرفتن ۱۲ المان مرزی و با دیگر با در



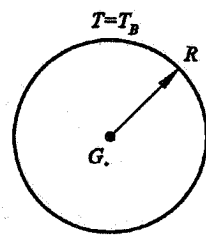
شکل ۱۰- نتایج BEM و روش دقیق در حل مسئله با منبع نقطه‌ای



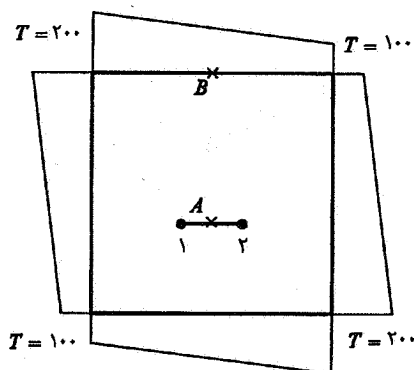
شکل ۱۲- مقایسه حل مسئله منبع خطی با دو مسئله معادل شده توسط منابع نقطه‌ای

در نقطه ۱ و ۲ به ترتیب  $\frac{W}{m} = 50$  و  $\frac{W}{m} = 100$  است و ضریب هدايت گرمای برابر با  $k = \frac{W}{m^{\circ}C}$  در نظر گرفته شده است.

این مسئله توسط روش اجزای مرزی حل شده است و برای بررسی نتایج حاصله دو مسئله دیگر نیز تعریف و حل شده است. در مسئله اول به جای منبع تولید گرمای خطی پنج منبع نقطه‌ای با



شکل ۹- مسئله دو بعدی با منبع تولید گرمای نقطه‌ای



شکل ۱۱- مسئله دو بعدی با منبع تولید گرمای خطی

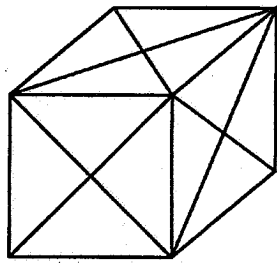
گرفته می‌شود.

جواب دقیق این مسئله عبارت است از

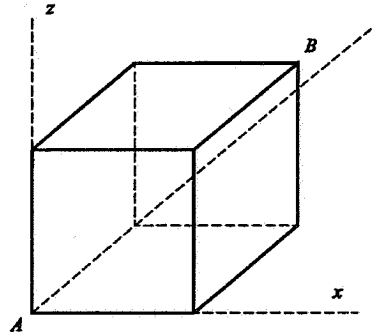
$$T = \frac{G_c}{2k\pi} [\ln R - \ln r] + T_B \quad (66)$$

این مسئله با مقادیر  $G_c = 20W$ ,  $k = \frac{W}{m^{\circ}C}$ ,  $T_B = 10^{\circ}C$ , و  $R = 1m$  با روش دقیق و همچنین با روش اجزای مرزی و تنها با ۱۲ المان مرزی حل شده است. نتایج به دست آمده در شکل (۱۰) نشان داده شده است. دقت نتایج بسیار عالی است و خطای روش اجزای مرزی نسبت به روش دقیق از ۱٪/۰۰۰۱ بیشتر نیست.

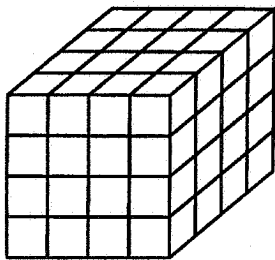
۴-۵- منبع تولید گرمای خطی در مسئله دو بعدی در شکل (۱۱) دامنه و شرایط مرزی برای یک مسئله دو بعدی با منبع تولید گرمای خطی نشان داده شده است. شرایط مرزی از نوع دیریشله بوده و در طول مرز دارای تغییرات خطی است. طول هر ضلع از دامنه ۲ متر و طول منبع خطی  $5/0$  متر است. شدت منبع



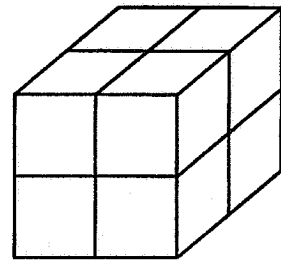
شکل ۱۴- تقسیم‌بندی اجزای مرزی، ۱۴ گره



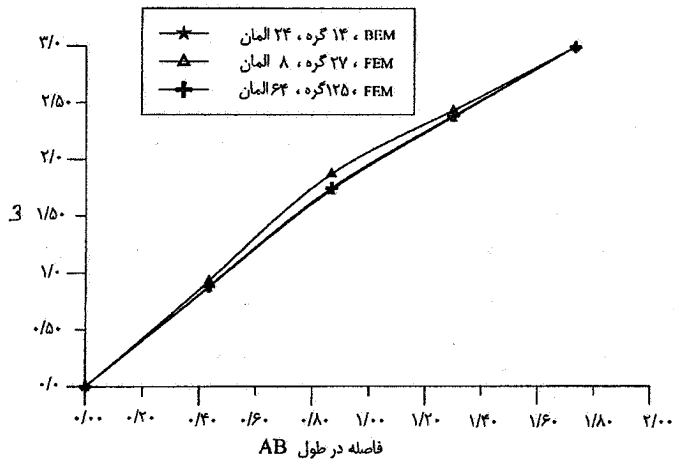
شکل ۱۳- مسئله سه بعدی با منبع تولیدگرمای گسترده



شکل ۱۶- تقسیم‌بندی ریز اجزای محدود، ۱۲۵ گره



شکل ۱۵- تقسیم‌بندی درشت اجزای محدود، ۲۷ گره



شکل ۱۷- مقایسه نتایج اجزای مرزی و اجزای محدود

برای مسئله سه بعدی

برای بررسی نتایج، دما در طول قطر بزرگ مکعب (AB) در سه حالت مختلف با یکدیگر مقایسه شده است. شکل (۱۷) اندازه دما را روی AB برای این سه حالت نشان می‌دهد. ملاحظه می‌شود که نتیجه روش اجزای مرزی به نتیجه روش اجزای محدود با دانه بندی ریز بسیار نزدیک است.

۵-۶- منبع تولیدگرمای خطی در مسئله سه بعدی  
شکل (۱۸) یک مکعب به طول ضلع ۱ متر را نشان می‌دهد که

شدت معادل و در مسئله دوم ۱۰ منبع نقطه‌ای با شدت معادل منبع خطی در نظر گرفته شده است. نتایج حل این دو مسئله و مسئله اصلی در مقایسه با یکدیگر در شکل (۱۲) نشان داده شده است. در نمودارهای نشان داده شده، دما در طول خط AB به دست آمده است. نقطه A اندکی بالاتر از منبع تولیدگرمای خطی قرار دارد. با بررسی نتایج ملاحظه می‌شود که مسئله معادل شده با ۵ منبع نقطه‌ای در مقایسه با مسئله اصلی، نتایج نزدیک و مسئله معادل شده با ۱۰ منبع نقطه‌ای نتایج نزدیکتر را نشان می‌دهد.

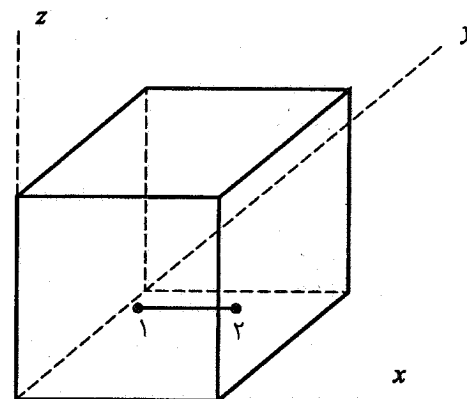
#### ۵-۵- مسئله سه بعدی با منبع تولیدگرمای گسترده

مثال نشان داده شده در شکل (۱۳) یک مکعب به طول ضلع ۱ متر است که تحت شرط مرزی  $T = x + y + z$  قرار دارد. ضریب هدایت گرما  $\frac{W}{m^2 \cdot ^\circ C}$  و شدت منبع تولیدگرمای گسترده به صورت یکنواخت و برابر با  $\frac{W}{m^3}$  در نظر گرفته شده است. این مسئله توسط روش‌های اجزای مرزی (۱۴ گره)، اجزای محدود با دانه بندی درشت (۲۷ گره) و اجزای محدود با دانه بندی ریز (۱۲۵ گره) حل شده است. شکلهای (۱۴) تا (۱۶) چگونگی تقسیم‌بندی در سه حالت مختلف را نشان می‌دهد.

شد. دیده می شود که نتیجه به دست آمده از مسئله معادل به اندازه کلفی به نتیجه مسئله اصلی نزدیک است و در مورد دوم که از منابع نقطه ای پیشتری استفاده شده است اختلاف با مسئله اصلی کمتر است.

## ۶- نتیجه گیری

چگونگی اعمال کردن دقیق اثر منابع تولید گرمای نقطه ای و خطی در مسائل دو بعدی و سه بعدی بیان شد همچنین تبدیل دقیق انتگرال مربوط به منبع تولید گرمای گستردۀ یکنواخت از دامنه به مرز در هر یک از مسائل دو بعدی و سه بعدی انجام شد. در مسئله دو بعدی کلیه انتگرالها به صورت دقیق محاسبه شد و دستیابی به حداقل دقت میسر شد. با بهره گیری از چند مثال دیده شد که دقت روابط عنوان شده حتی در مسائل غیر خطی بسیار عالی است. بنابراین آن دسته از مسائلی را که دارای شرایط خاص اند می توان با دقت عالی با روش اجزای مرزی تحلیل کرد. از مهمترین وضعیتهای خاص می توان به یکنواخت بودن اندازه المانها و نازک بودن دامنه اشاره نمود. همچنین وقتی که جوابهای مسئله در دامنه و در نزدیک مرز خواسته شده باشد، حتی با وجود المانهای مرزی بزرگ می توان نتایج کم خطایی را به دست آورد.



شکل ۱۸- مسئله سه بعدی با منبع تولید گرمای خطی

تحت شرط مرزی  $T = x + y + z$  قرار دارد (مانند مثال قبل) ضریب هدایت گرما  $\frac{W}{m^2 \cdot C}$  ۱ در نظر گرفته شده است. شدت منبع تولید گرمای خطی در نقطه ۱ و ۲ به ترتیب  $\frac{W}{m} = 10$  و  $\frac{W}{m} = 20$  و طول آن  $5m$  است و در  $z = 0$  قرار دارد.

این مسئله با در نظر گرفتن ۱۴ گره مرزی مطابق با شکل (۱۴) حل شده است و مقدار دمای به دست آمده در مرکز مکعب  $T_c = 2/56^\circ$  بوده است. برای بررسی نتیجه به دست آمده مسئله دیگر نیز تعریف و حل شده است تا با مسئله اصلی مقایسه شوند. در مسئله اول به جای منبع تولید گرمای خطی پنج منبع نقطه ای با شدت معادل منبع خطی قرار داده شد و نتیجه خطی از  $10^\circ$  منبع نقطه ای استفاده شد و نتیجه  $T_c = 2/561^\circ$  حاصل

## واژه نامه

- |                        |               |
|------------------------|---------------|
| 1. Kirchhoff           | 5. Newton     |
| 2. Green's lemma       | 6. Dirichlet  |
| 3. Green-Gauss theorem | 7. Neumann    |
| 4. simple iteration    | 8. divergence |

- |                     |
|---------------------|
| 9. source point     |
| 10. field point     |
| 11. nearly singular |

## مراجع

- Brebbia, C.A., Telles, J.C.F., and Wrobel, L.C., *Boundary Element Techniques Theory and Applications in Engineering*, Springer-Verlag, Berlin, Heidelberg, New York, and Tokyo, 1984.
- Khadar, M.S., and Henna, M.C., "An Iterative Boundary Numerical Solution for General Steady Heat Conduction Problems," *Trans. ASME J. Heat Transfer*, Vol. 103, pp. 26-31, 1981.
- Azevedo, J.P.S., "Analysis of Nonlinear Heat Conduction Problems by the Boundary Element Method," M.Sc. Thesis (in Portuguese), COPPE/UFRJ, Rio de Janeiro, Brasil, 1985.
- Wrobel, L.C., and Azevedo, J.P.S., "A Boundary Element Analysis of Nonlinear Heat Conduction," in R.W. Lewis and K. Morgan (Eds.), *Proc. Fourth Int. Conf. on Numerical Methods in Thermal*

- Problems*, Pineridge Press, Swansea, 1985.
5. Brebbia, C.A., and Wrobel, L.C., "The Dual Reciprocity Boundary Element Formulation for Non-Linear Diffusion Problems," *Computer Methods in Applied Mechanics and Engineering*, Vol. 65, pp. 147-164, 1987.
  6. Wearing, J.L., and Sheikh, M., "A Regular Indirect Boundary Element Method for Thermal Analysis," *Int. J. Num. Meth. Engng.*, Vol. 25, pp. 495-515, 1988.
  7. Nagarajan, A., and Mukherjee, E., "Novel Boundary Element Method for Linear Elasticity with no Numerical Integration for Two-Dimensional and Line Integrals for Three Dimensional Problems., "J. Appl. Mech. Trans. ASME, Vol. 61, No. 2, pp. 264-269, 1994.
  8. همتیان، م.ر.، کرمی، ق.، روشنی برای اعمال شرط مرزی تشعشع در حل مسئله هدایت گرما با روش‌های اجزای محدود، اجزای مرزی و روش کوپل، پنجمین کنفرانس سالیانه مهندسی مکانیک انجمن مهندسان مکانیک ایران، دانشگاه تبریز، ۱۳۷۶.
  9. Ozisik, M.N., *Heat Conduction*, Wiley Interscience, New York, 1985.
  10. Azevedo, J.P.S., and Brebbia, C.A., "An Efficient Technique for Reducing Domain Integrals to the Boundary," In *Boundary Element X* , Vol. 1, *Mathematical and Computational Aspects*, Editor: Brebbia, C.A., 1988.
  11. Brebbia, C.A., "On Two Different Method for Transforming Domain Integrals to the Boundary," In *Advances in Boundary Elements*, Vol. 1, Computations and Fundamentals, Editors: Brebbia, C.A. and Connor, J.J., 1989.
  12. Fariweather, G., Rizzo, F.J., Shippy, D.J., and Wu, Y.S., "On the Numerical Solution of Two-Dimensional Potential Problems by an Improved Boundary Integral Equation Method, *Journal of Computational Physics*, Vol. 31, pp. 96-112, 1979.
  13. Tang, W., Brebbia, C.A., and Telles, J.C.F., "A Generalized Approach to Transfer the Domain Integrals into Boundary Ones for Potential Problems in B.E.M., "Proceedings of the IX int. Conf. on BEM in Engng., Computational Mechanics Publications, Southampton and Boston, 1987.
  14. Tang, W., "A Generalized Approach for Transforming Domain Integrals into Boundary Integrals in Boundary Element Method," Ph.D. Thesis of Computational Mechanics Institute, Southampton, 1988.